

III-25 浮遊砂とともに流れの実験的研究

京都大学防災研究所 正員 工博 矢野勝正
上 司員 大同淳之

この研究は、土砂の含有量が水量に比べて多いといわれる土石流の特性を調べる基礎実験として、高濃度の浮遊物をふくむ流れの実験をおこなったものである。

実験に用いた水路は、幅 20 cm, 高さ 24 cm, 有効長 18 m の両面ガラス張り鋼製循環式水路である。底に平均粒径 1.85 mm の砂とはりつけて、底面だけ粗面として行なったものである。実験に用いた砂は図-1 に示す 2 種類である。

表-1 実験範囲

粒径	勾配	水深 cm	濃度 gram/liter
I	1/100	4.8 ~ 12.0	0 ~ 335.0
II	1/100	4.8 ~ 9.0	0 ~ 148
	1/30	1.7 ~ 5.2	0 ~ 25.0

I の砂を用いた実験では、浮遊砂の濃度分布の測定結果は、ほぼ一様に分布しているとみなすことができ、流動中は水と砂が完全に混合した流体とみることができた。したがって、流体の動粘性係数は浮遊砂の増加と共に増大し、オストワルド粘度計を用いて測定した結果によると、清澄な水に対する動粘性係数の増加量は図-2 に示すようである。温度変化による動粘性係数の変化の割合は、水の場合に算ないので、渋水の動粘性係数の温度変化は媒質の水の温度変化に支配されることがわかる。

実験で測定されたものは、水路中央の流速分布および浮遊砂の増加による抵抗係数の変化である。流速分布の測定は外径 3.0 mm のピトー管と用いて行なった。なお流砂のためにピトー管がつまるので、岩垣博士考案の応用ピトー管法を用いた。

浮遊とともに流れの流速分布が、対数法則にしたがうが、式中の Karman's const. K が浮遊砂量の増大とともに減少することはすでに知られているところである。図-3 は測

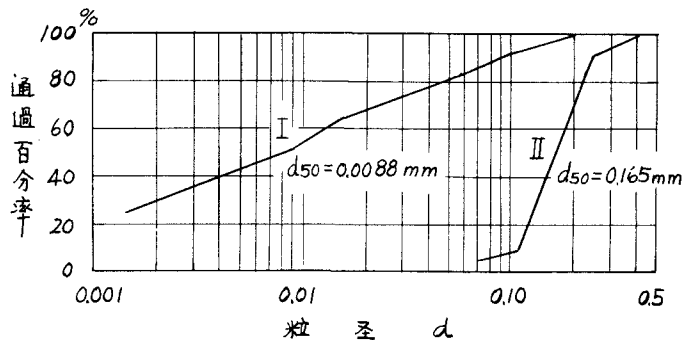


図-1 実験に用いた粒径

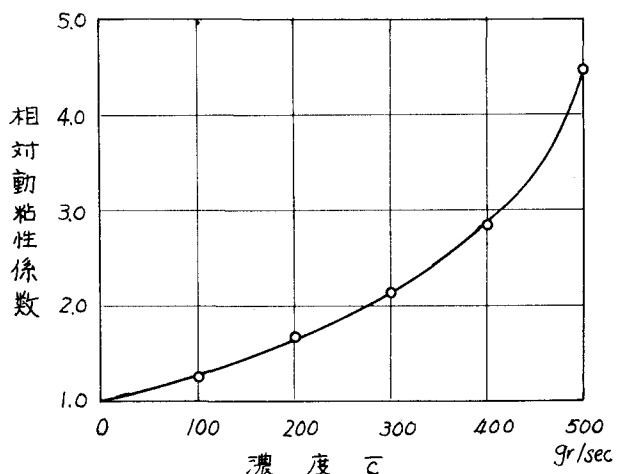


図-2 濃度による動粘性係数の変化

定した流速分布の1例で、この実験においても、底からの高さ z の大きい部分にのみ着目してたの値を求めるとき、たゞ濃度の増加とともに減少することを示した。ただしIとIIの粒径ではその減少の割合は同じでなく、同じ濃度ではIの方が減少の割合は少ない。志村氏等の表記の方法によつても傾向がかなり違うようである。また図-3にみられるように分布はカーブを示すようになる。これらはIの粒径では、細かいために、これらをふくむことになつて流体自身の性質が變るためとなることができる。図-4に示すように $U_z/U_* = 1.5 \times 10^3$ 附近で流速分布の勾配が異なることが、Iの砂を用いた実験で示された。

勾配 $1/100$ の実験では、Iの砂では濃度 250 gr/liter 程度まで底勾配と算しい水面勾配で流動したが、IIの砂では

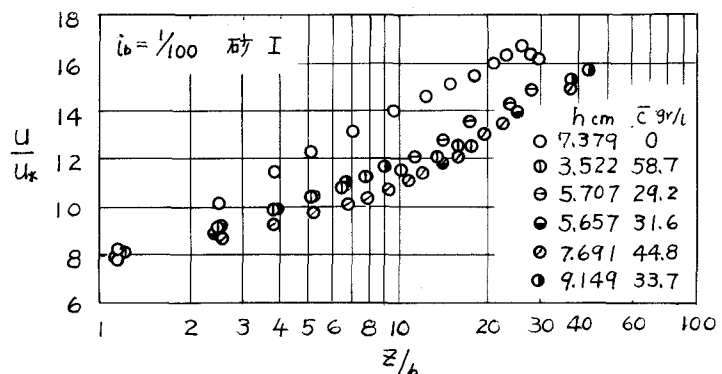


図-3 流速分布

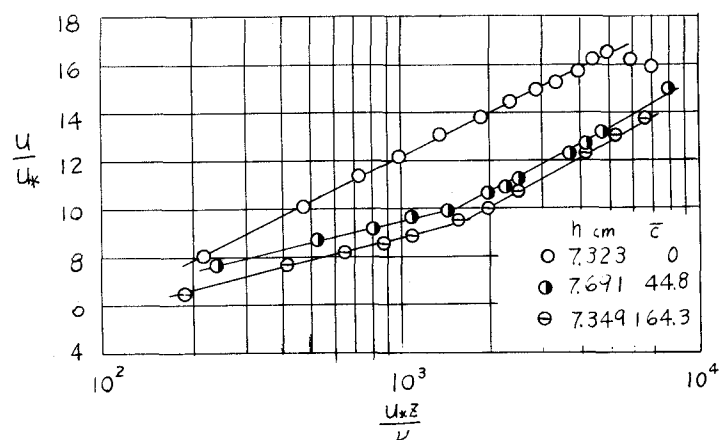


図-4 流速分布

gram/liter 程度で河床に砂の堆積がみられた。图-1はIの砂について測定された粗度係数 n の値で、Einstein の方法で求めた R_b についてプロットしたものである。图中の黒丸は清澄な水で、 $d_m = 1.85 \text{ mm}$ の砂で dune が生じない程度にできただけ多量の砂を掃流の状態で流したもの

で、土砂とともに流れの抵抗係数は、浮遊の形式で移動してから場合は変化は少なく、掃流型式で移動する場合に大きく影響を受けることができる。

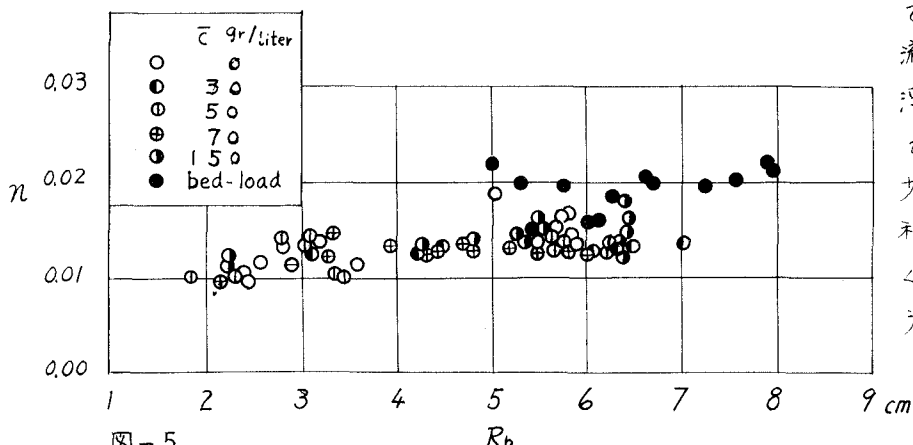


図-5